



DE LA RECHERCHE À L'INDUSTRIE

Schémas volumes finis positifs d'ordre arbitraire pour la diffusion sur maillage quelconque

Xavier BLANC, François HERMELINE, Emmanuel LABOURASSE, Julie PATELA (julie.patela@cea.fr) | 23 Mai 2023

Commissariat à l'énergie atomique et aux énergies alternatives – www.cea.fr

- 1 Introduction
- 2 Notations
- 3 Problème
- 4 Notre méthode
- 5 Résultats numériques
- 6 Conclusion et perspectives

1 Introduction

2 Notations

3 Problème

4 Notre méthode

5 Résultats numériques

6 Conclusion et perspectives

Problème continu

L'opérateur de diffusion apparaît dans de nombreux problèmes (conduction thermique, diffusion radiative, équations de Navier-Stokes...).

Cas de l'équation de la chaleur stationnaire

$$\begin{cases} -\nabla \cdot \kappa \nabla \bar{u} = f & \text{sur } \Omega, \\ \bar{u} = g & \text{sur } \partial\Omega \end{cases}$$

avec $\bar{u} \in H^1(\Omega)$, $f \in L^2(\Omega)$, $g \in H^{1/2}(\partial\Omega)$, $\kappa \in L^\infty(\Omega)$, $\kappa(x) \geq \kappa_0 > 0, \forall x$.

Propriétés de ce problème :

- Il existe une unique solution et elle satisfait le principe du maximum faible (*i.e* $f, g \geq 0 \implies \bar{u} \geq 0$),
- Conservativité : $\forall \omega \subset \Omega, \int_{\omega} f = - \int_{\partial\omega} (\kappa \nabla \bar{u}) \cdot n$.

Propriétés souhaitées pour ce schéma :

- Conservativité,
- Préserver la positivité de la solution discrète,
- Consistance, Convergence.

Objectif

Discretiser l'opérateur de diffusion de manière robuste et précise sur maillage déformé.

- Conservativité
- Positivité
- Ordre très élevé (au moins 3)

Quelques repères bibliographiques

- Xavier Blanc, Emmanuel Labourasse, *Journal of Applied Mathematics and Mechanics*, 2016 : Positivité (ordre 2).
- Bruno Després, *ESAIM: Mathematical Modelling and Numerical Analysis, EDP Sciences*, 2014 : Ordre élevé, principe du maximum (1D, maillage cartésien).
- Jean-Sylvain Camier, François Hermeline, *International journal for numerical methods in engineering*, 2016 : Positivité (ordre 2).
- Jérôme Droniou, Christophe Le Potier, *SIAM Journal on Numerical Analysis, Society for Industrial and Applied Mathematics*, 2011 : Principe du maximum (ordre 2).
- ...

Schéma d'ordre élevé positif en 1D¹

- Schéma d'ordre arbitraire
- Conservatif
- Positivité (et principe du maximum si symétrisation)
- Coefficient de diffusion discontinu
- Consistance des flux à l'ordre k
- Convergence du schéma à l'ordre $k - 1$ sous hypothèse de stabilité
- Convergence du schéma à l'ordre k sous hypothèse de coercivité

¹Xavier Blanc, François Hermeline, Emmanuel Labourasse, Julie Patela, *High-order monotone finite-volume schemes for 1D elliptic problems*, 2022.

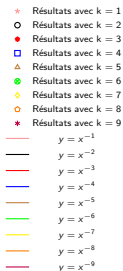
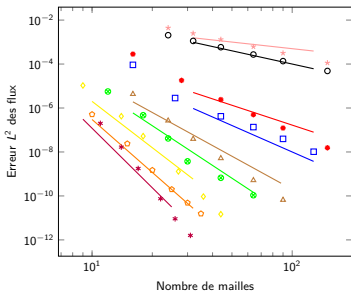
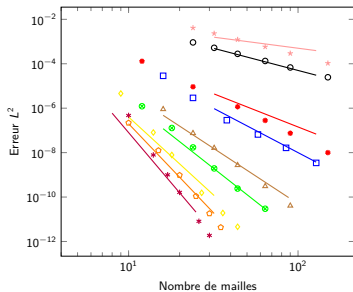
Résultats 1D

Considérons la fonction

$$\bar{u}(x) = \sin(\pi x) - 2x^2 + 4$$

avec $\kappa = \exp(x)$. On a alors

$$\begin{cases} f(x) = 4 \exp(x) + 4x \exp(x) - \pi \cos(\pi x) \exp(x) + \pi^2 \exp(x) \sin(\pi x), \\ g(0) = 4 \text{ et } g(1) = 2. \end{cases}$$



1 Introduction

2 Notations

3 Problème

4 Notre méthode

5 Résultats numériques

6 Conclusion et perspectives

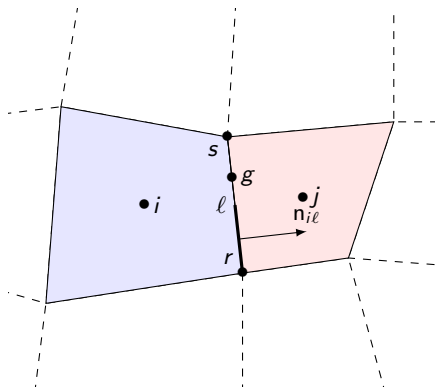


Figure: Maillage primal

- ▶ r et s : des sommets,
- ▶ l : une arête du maillage primal, de mesure $|l|$,
- ▶ i et j : des mailles,
- ▶ g : un point de quadrature des Gauss sur l'arête l ,
- ▶ x_r : la position du sommet r ,
- ▶ x_j : la position du centre de gravité de la maille j ,
- ▶ x_l : la position du centre de l'arête l ,
- ▶ V_j : le volume de la maille j .
- ▶ n_{il} : la normale unitaire à l'arête l , sortante pour la maille i .

- 1 Introduction
- 2 Notations
- 3 Problème**
- 4 Notre méthode
- 5 Résultats numériques
- 6 Conclusion et perspectives

Considérons le problème suivant

$$\begin{cases} -\nabla \cdot \kappa \nabla \bar{u} = f & \text{dans } \Omega, \\ \bar{u} = g & \text{sur } \Gamma, \end{cases}$$

avec $\bar{u} \in C^k(\Omega)$, $f \in L^2(\Omega)$, $g \in H^{1/2}(\partial\Omega)$, $\kappa \in L^\infty(\Omega)$, $\kappa(x) \geq \kappa_0 > 0, \forall x$.

La première étape de construction d'un schéma aux volumes finis est d'intégrer sur une maille i . Nous avons donc

$$-\sum_{\ell \in \partial i} \underbrace{\int_{\ell} \kappa \nabla \bar{u} \cdot \mathbf{n}}_{\text{Flux à approcher}} = \int_i f,$$

c'est-à-dire

$$-\sum_{\ell \in \partial i} |\ell| \sum_{g \in \ell} \omega_g \kappa_g (\nabla \bar{u})_g \cdot \mathbf{n}_{i\ell} \approx \int_i f,$$

avec ω_g les poids de la quadrature de Gauss.

Nous devons approcher le gradient

$$(\nabla \bar{u})_g \cdot \mathbf{n}_{i\ell}.$$

Schéma idéal

- Convergent à un ordre élevé
- Linéaire
- Conservatif
- Positivité

⇒ Trop de contraintes, donc nous devons négocier et nous sacrifions la linéarité

Caractéristiques principales du schéma

- Nos choix :
 - Schéma aux volumes finis,
 - Basé sur des développements de Taylor,
 - Utiliser une reconstruction polynomiale pour évaluer les dérivées.
- Pour avoir la positivité :
 - Schéma non linéaire.

1 Introduction

2 Notations

3 Problème

4 Notre méthode

5 Résultats numériques

6 Conclusion et perspectives

Développements de Taylor intégrés à l'ordre k au voisinage de x_g

$$\begin{aligned} \bar{u}_j &= \frac{1}{V_j} \int_j \bar{u}(x) dx = \bar{u}(x_g) + (x_j - x_g) \cdot \nabla \bar{u}(x_g) \\ &+ \sum_{p=2}^k \frac{1}{V_j p!} \sum_{m=0}^p \binom{p}{m} \frac{\partial^p \bar{u}}{\partial x^m \partial y^{(p-m)}}(x_g) \int_j (x - x_g)^m (y - y_g)^{(p-m)} dx + \mathcal{O}(h^{k+1}), \\ \bar{u}_i &= \bar{u}(x_g) + (x_i - x_g) \cdot \nabla \bar{u}(x_g) \\ &+ \sum_{p=2}^k \frac{1}{V_i p!} \sum_{m=0}^p \binom{p}{m} \frac{\partial^p \bar{u}}{\partial x^m \partial y^{(p-m)}}(x_g) \int_i (x - x_g)^m (y - y_g)^{(p-m)} dx + \mathcal{O}(h^{k+1}). \end{aligned}$$

En faisant la différence entre les deux expressions et en isolant $\nabla \bar{u}(x_g)$

$$\begin{aligned} (x_j - x_i) \cdot \nabla \bar{u}(x_g) &= \bar{u}_j - \bar{u}_i - \underbrace{\sum_{p=2}^k \frac{1}{p!} \sum_{m=0}^p \binom{p}{m} \frac{\partial^p \bar{u}}{\partial x^m \partial y^{(p-m)}}(x_g)}_{\bar{r}_{ij}} \\ &\left(\underbrace{\frac{1}{V_j} \int_j (x - x_g)^m (y - y_g)^{(p-m)} dx - \frac{1}{V_i} \int_i (x - x_g)^m (y - y_g)^{(p-m)} dx}_{\bar{r}_{ij}} \right) + \mathcal{O}(h^{k+1}). \end{aligned}$$

En répétant ce processus sur les sommets r et s de l'arête, on obtient

$$\begin{aligned}
 (x_s - x_r) \cdot \nabla \bar{u}(x_g) &= \bar{u}(x_s) - \bar{u}(x_r) - \underbrace{\sum_{p=2}^k \frac{1}{p!} \sum_{m=0}^p \binom{p}{m} \frac{\partial^p \bar{u}}{\partial x^m \partial y^{(p-m)}}(x_g)}_{\bar{r}_{rs}} \\
 &\quad \underbrace{\left((x - x_g)^m (y - y_g)^{(p-m)} - (x - x_g)^m (y - y_g)^{(p-m)} \right)}_{\bar{r}_{rs}} + \mathcal{O}(h^{k+1}).
 \end{aligned}$$

Nous avons alors le système

$$\begin{cases} \nabla \bar{u}(x_g) \cdot (x_j - x_i) = \bar{u}_j - \bar{u}_i + \bar{r}_{ij}, \\ \nabla \bar{u}(x_g) \cdot (x_s - x_r) = \bar{u}(x_s) - \bar{u}(x_r) + \bar{r}_{rs}. \end{cases}$$

Nous pouvons décomposer la normale n_{il} dans la base $((x_j - x_i), (x_s - x_r))$

$$n_{il} = \alpha_{il}(x_j - x_i) + \beta_{il}(x_s - x_r),$$

avec $\alpha_{il} \geq 0$.

Ainsi, nous avons

$$(\nabla \bar{u})_g \cdot n_{il} = \alpha_{il} (\bar{u}_j - \bar{u}_i + \bar{r}_{ij}) + \beta_{il} (\bar{u}(x_s) - \bar{u}(x_r) + \bar{r}_{rs}).$$

Reconstruction polynomiale

Calcul d'un polynôme par maille en utilisant ses mailles voisines afin d'effectuer une reconstruction polynomiale de la solution.

Polynôme de degré k : $\frac{(k+1)(k+2)}{2}$ coefficients $\Rightarrow (k+1)(k+2)$ mailles voisines de i ²³

$$P_i(\mathbf{x}) = \sum_{m=0}^k \sum_{n=0}^{k-m} a_{mn}(\mathbf{u})(x - x_i)^m (y - y_i)^n.$$

Pour cela, nous calculons les coefficients du polynôme $P_i(\mathbf{x})$ tels que

$$\frac{1}{V_j} \int_j P_i(\mathbf{x}) = u_j, \forall j \in S_i.$$

Méthode des moindres carrés

$$M^T M \mathbf{a} = M^T \mathbf{d}$$

Nous avons donc

$$\partial_{\mathbf{x}}^{\ell} \bar{u}(\mathbf{x}_g) \approx P_i^{(\ell)}(\mathbf{x}_g).$$

²Michael Dumbser, Walter Boscheri, Matteo Semplice, Giovanni Russo, *Central weighted eno schemes for hyperbolic conservation laws on fixed and moving unstructured meshes*, SIAM Journal on Scientific Computing, 2017.

³Martin Kser, Armin Iske, *Ader schemes on adaptive triangular meshes for scalar conservation laws*, Journal of Computational Physics, 2005.

Choix du stencil

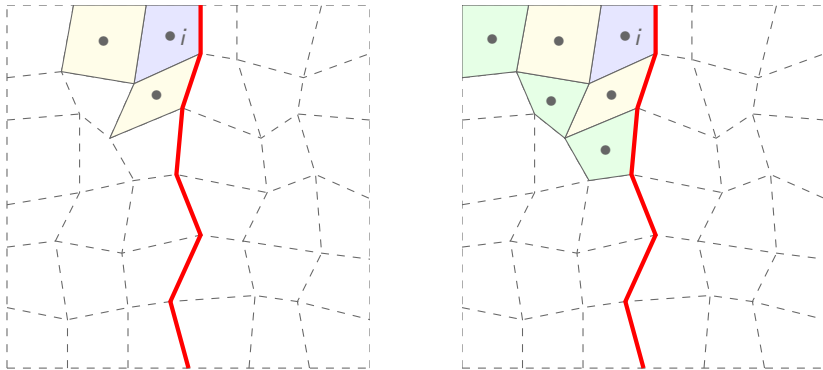


Figure: Construction du stencil pour une maille i avec une discontinuité (en rouge)

Soit $\mathbf{u} = (u_i)_{1 \leq i \leq n}$ notre solution discrète. Nos flux numériques sont définis par

$$\mathcal{F}_\ell(\mathbf{u}) = |\ell| \sum_{g \in \ell} \omega_g \kappa_g (\alpha_{i\ell} (u_j - u_i + r_{ij}(\mathbf{u})) + \beta_{i\ell} (P(x_s) - P(x_r) + r_{rs}(\mathbf{u}))),$$

Autrement dit

$$\mathcal{F}_\ell(\mathbf{u}) = \gamma_\ell (u_j - u_i) + r_\ell(\mathbf{u}),$$

avec

$$\begin{cases} r_\ell(\mathbf{u}) = |\ell| \sum_{g \in \ell} \omega_g \kappa_g (\alpha_{i\ell} r_{ij}(\mathbf{u}) + \beta_{i\ell} (P(x_s) - P(x_r) + r_{rs}(\mathbf{u}))), \\ \gamma_\ell = \alpha_{i\ell} |\ell| \sum_{g \in \ell} \omega_g \kappa_g \geq 0. \end{cases}$$

En s'inspirant de Y. Gao *et al.*⁴ pour imposer la positivité discrète

$$\mathcal{F}_\ell(\mathbf{u}) = \gamma_\ell(u_j - u_i) + r_\ell(\mathbf{u}).$$

Tout d'abord, posons

$$r_\ell(\mathbf{u})^+ = \frac{|r_\ell(\mathbf{u})| + r_\ell(\mathbf{u})}{2} \geq 0 \quad \text{et} \quad r_\ell(\mathbf{u})^- = \frac{|r_\ell(\mathbf{u})| - r_\ell(\mathbf{u})}{2} \geq 0.$$

Donc, quelque soit le signe de $r_\ell(\mathbf{u})$, nous aurons toujours

$$r_\ell(\mathbf{u}) = r_\ell(\mathbf{u})^+ - r_\ell(\mathbf{u})^-.$$

Nous pouvons alors réécrire nos flux comme suit

$$\mathcal{F}_\ell(\mathbf{u}) = \left(\gamma_\ell + \frac{r_\ell(\mathbf{u})^+}{u_j} \right) u_j - \left(\gamma_\ell + \frac{r_\ell(\mathbf{u})^-}{u_i} \right) u_i.$$

Nos coefficients sont positifs (M-Matrice) mais dépendent de u (perte de linéarité).

⁴Yanni Gao, Guangwei Yuan, Shuai Wang, Xudeng Hang, *A finite volume element scheme with a monotonicity correction for anisotropic diffusion problems on general quadrilateral meshes*, Journal of Computational Physics, 2020.

Définition (M-matrice)

La matrice $A = (a_{ij})$ est une M-matrice si elle satisfait les inégalités suivantes

$$\forall i \neq j, a_{ij} \leq 0,$$

et

$$(1) \quad \forall i, \sum_{j=1}^n a_{ij} \geq 0.$$

De plus, si (1) est stricte pour tout $i \in \llbracket 1, n \rrbracket$, on dit que A est une M-matrice stricte.

Propriétés du schéma

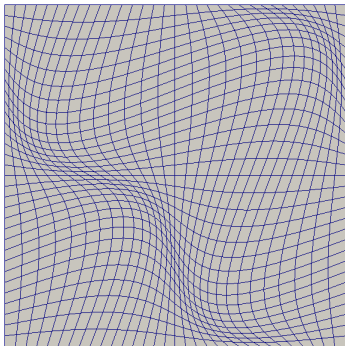
- Conservativité
- Positivité

Dans le cas où $\kappa \in \mathbb{R}^{2 \times 2}$, notre méthode s'adapte facilement. On a alors

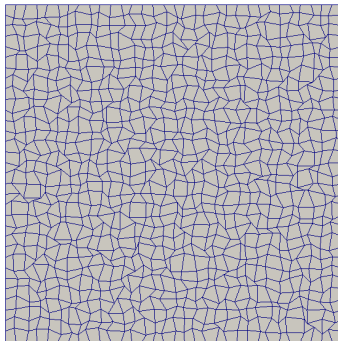
$$-\sum_{\ell \in i} \int_{\ell} \nabla \bar{u} \cdot (\kappa^T \mathbf{n}) = \int_i f.$$

Tous les calculs se font de la même manière en changeant \mathbf{n} en $\kappa^T \mathbf{n}$.

- 1 Introduction
- 2 Notations
- 3 Problème
- 4 Notre méthode
- 5 Résultats numériques**
- 6 Conclusion et perspectives



(a) Exemple d'un maillage déformé



(b) Exemple d'un maillage aléatoire

Figure: Exemples de maillages

Considérons le problème stationnaire suivant :

Trouver \bar{u} telle que

$$\begin{cases} -\nabla \cdot (\kappa \nabla \bar{u}) = f & \text{sur } \Omega =]0, 1[\times]0, 1[, \\ \bar{u} = g & \text{sur } \partial\Omega. \end{cases}$$

Prenons κ discontinu

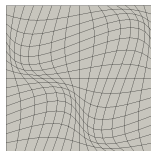
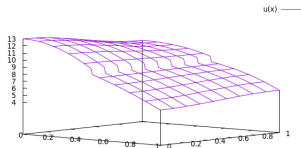
$$\kappa(x) = \begin{cases} 1 & \text{si } x \leq 0.5, \\ 2 & \text{si } x > 0.5. \end{cases}$$

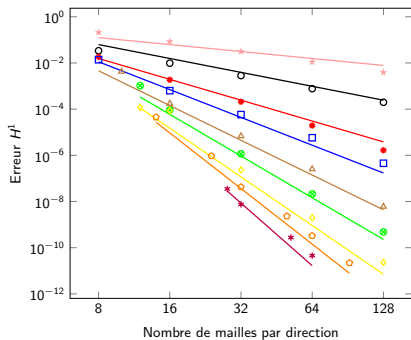
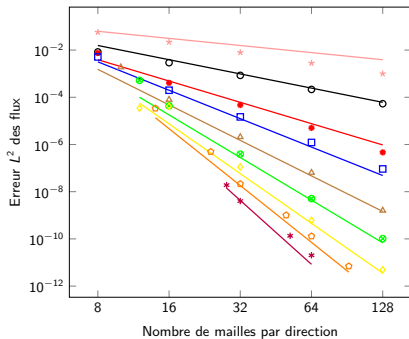
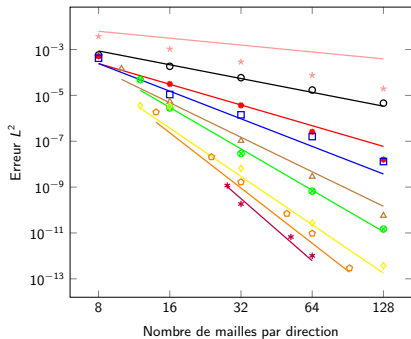
avec la solution analytique suivante

$$\bar{u}(x) = \begin{cases} \cos(\pi x) \cos(\pi y) - 10x^2 + 12 & \text{si } x \leq \frac{1}{2}, \\ \frac{1}{2} \cos(\pi x) \cos(\pi y) - 5x^2 + \frac{43}{4} & \text{si } x > \frac{1}{2}, \end{cases}$$

Nous avons alors

$$f(x) = 2\pi^2 \cos(\pi x) \cos(\pi y) + 20 \geq 0 \text{ sur } \Omega \text{ et } g \geq 0 \text{ sur } \partial\Omega.$$





- * Résultats avec $k = 1$
- Résultats avec $k = 2$
- Résultats avec $k = 3$
- Résultats avec $k = 4$
- △ Résultats avec $k = 5$
- ◇ Résultats avec $k = 6$
- ◇ Résultats avec $k = 7$
- ◇ Résultats avec $k = 8$
- * Résultats avec $k = 9$

- $y = x^{-1}$
- $y = x^{-2}$
- $y = x^{-3}$
- $y = x^{-4}$
- $y = x^{-5}$
- $y = x^{-6}$
- $y = x^{-7}$
- $y = x^{-8}$
- $y = x^{-9}$

Considérons le problème stationnaire suivant :

Trouver \bar{u} telle que

$$\begin{cases} -\nabla \cdot (\kappa \nabla \bar{u}) = f & \text{sur } \Omega =]0, 1[\times]0, 1[, \\ \bar{u} = g & \text{sur } \partial\Omega. \end{cases}$$

Prenons κ anisotrope

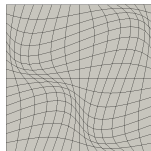
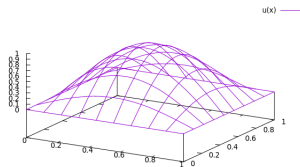
$$\kappa(x) = \begin{pmatrix} 1 & 0 \\ 0 & 2 \end{pmatrix}$$

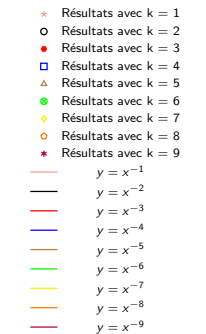
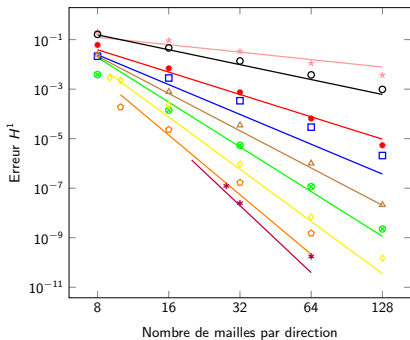
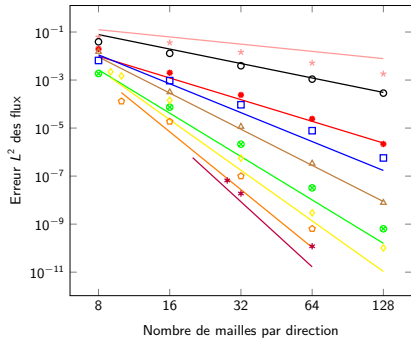
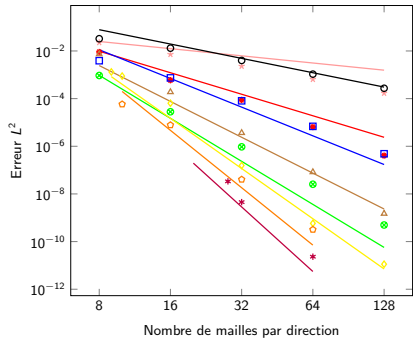
avec la solution analytique suivante

$$\bar{u}(x) = \sin(\pi x) \sin(\pi y)$$

Nous avons alors

$$f(x) = 3\pi^2 \sin(\pi x) \sin(\pi y) \geq 0 \text{ sur } \Omega \text{ et } g \geq 0 \text{ sur } \partial\Omega.$$





Considérons le problème stationnaire suivant :

Trouver \bar{u} telle que

$$\begin{cases} -\nabla \cdot (\kappa \nabla \bar{u}) = f & \text{sur } \Omega = [0, 1]^2 \setminus \left] \frac{4}{9}, \frac{5}{9} \right[\\ \bar{u} = g & \text{sur } \partial\Omega. \end{cases}$$

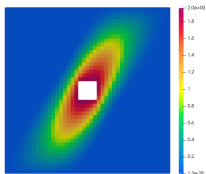
Prenons κ anisotrope

$$\kappa = \begin{pmatrix} \cos \theta & \sin \theta \\ -\sin \theta & \cos \theta \end{pmatrix} \begin{pmatrix} 1 & 0 \\ 0 & k \end{pmatrix} \begin{pmatrix} \cos \theta & -\sin \theta \\ \sin \theta & \cos \theta \end{pmatrix},$$

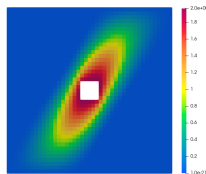
avec $\theta = \frac{\pi}{6}$, $k = 10^4$. Soit $f = 0$, $g = 0$ (resp. $g = 2$) sur les bords ext. (resp. int.)

Méthode	Minimum de la solution
Schéma DDFV non monotone ⁵	-0.5
Schéma monotone ordre 2	1e-21
Schéma monotone ordre 3	1.7e-27
Schéma monotone ordre 4	3.9e-30
Schéma monotone ordre 5	1.1e-27
Schéma monotone ordre 6	4.3e-27
Schéma monotone ordre 7	7.9e-25
Schéma monotone ordre 8	5.4e-21

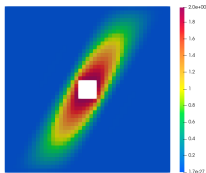
⁵François Hermeline, Journal of Computational Physics, 2000, *A finite volume method for the approximation of diffusion operators on distorted meshes*



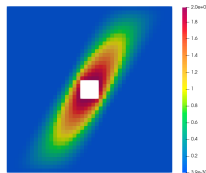
(a) Solution obtenue avec le schéma monotone ordre 1



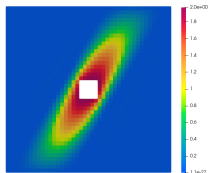
(b) Solution obtenue avec le schéma monotone ordre 2



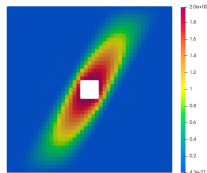
(c) Solution obtenue avec le schéma monotone ordre 3



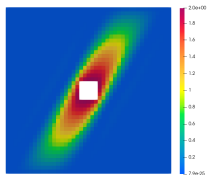
(d) Solution obtenue avec le schéma monotone ordre 4



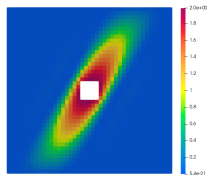
(a) Solution obtenue avec le schéma monotone ordre 5



(b) Solution obtenue avec le schéma monotone ordre 6



(c) Solution obtenue avec le schéma monotone ordre 7



(d) Solution obtenue avec le schéma monotone ordre 8

- 1 Introduction
- 2 Notations
- 3 Problème
- 4 Notre méthode
- 5 Résultats numériques
- 6 Conclusion et perspectives

Conclusion :

- Schéma d'ordre arbitraire,
- Conservatif,
- Positivité.

Perspectives :

- Coder le schéma d'ordre élevé avec la méthode DDFV,
- Discrétisation en temps,
- Coefficient de diffusion non linéaire.